

na

Figura 4.1 Esquema geológico de la ciudad de Barcelona (Vázquez-Suñé, E. 1998).

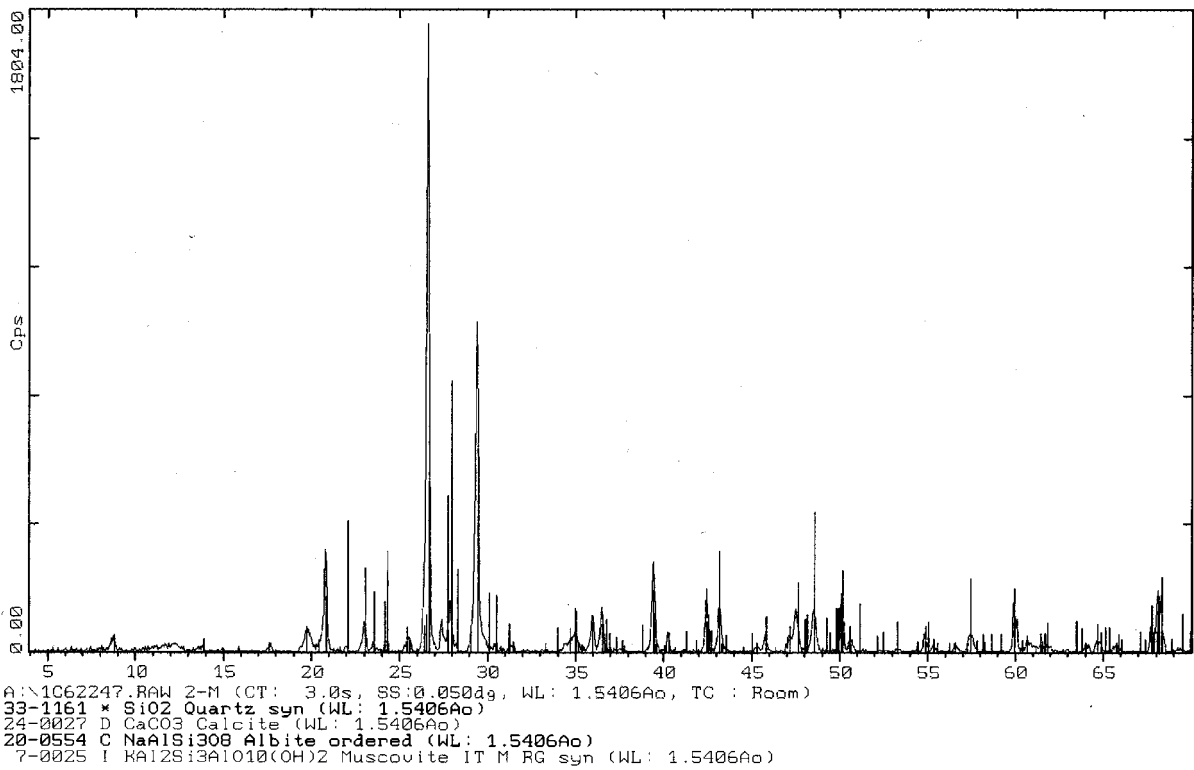


Figura 4.2 Difracción de rayos – X de la arcilla de baja plasticidad de Barcelona.



Figura 4.3 Microscopio electrónico de barrido ambiental Electroscan 2020 (ESEM).

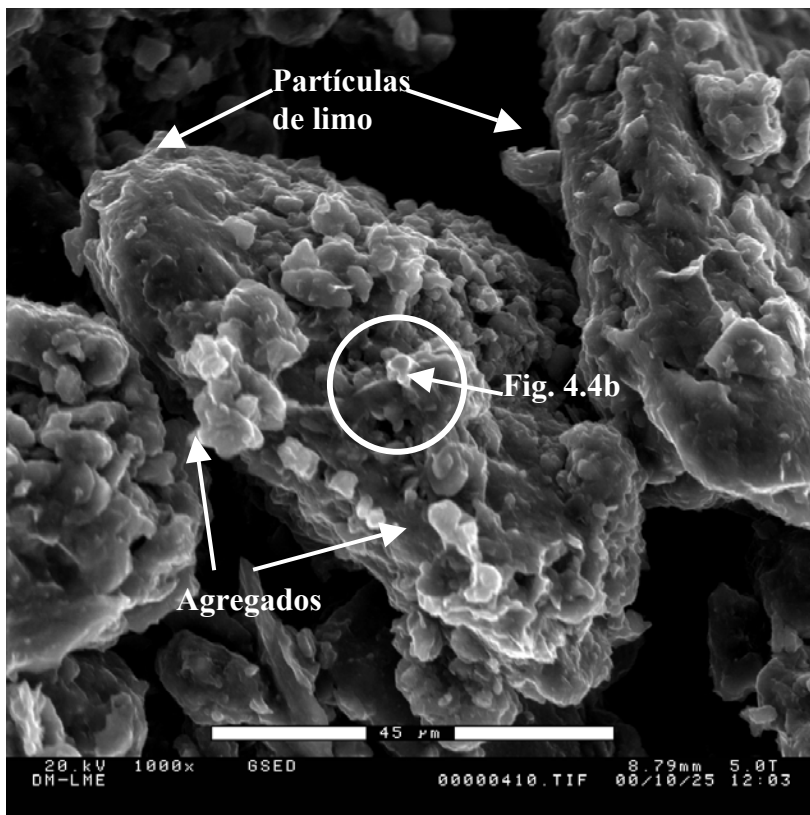


Figura 4.4a Suelo compactado en condiciones isotrópicas ( $\rho_d=1.65\text{g/cm}^3$ ,  $w_0=11\pm 0.2\%$  y  $n=40\%$ ), aumento x1000.